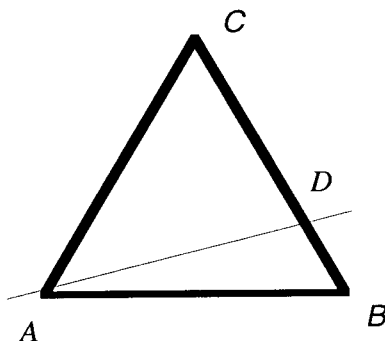


## Compito di Meccanica Razionale

Trieste, 21 luglio 2008

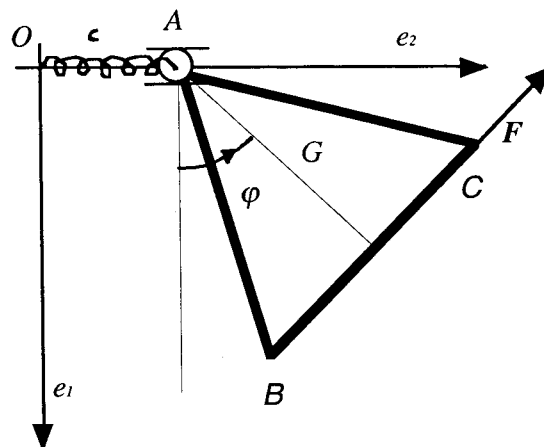
(G. Tondo)



È dato un telaio triangolare omogeneo i cui lati sono tutti di lunghezza  $l$  e massa  $m$ .

- 1) Calcolare il momento d'inerzia del telaio rispetto alla retta passante per il vertice  $A$  e per il punto  $D$  tale che  $BD = l/4$ .

### STATICÀ.



Si vincoli il telaio in un piano verticale con una cerniera liscia in  $A$  e scorrevole su un asse orizzontale. Le forze attive sono: la forza  $\mathbf{F}_C = F_{vers}$  ( $C - B$ ) applicata in  $C$ , la forza di richiamo della molla e il peso proprio del telaio.

- 2) Determinare tutte le configurazioni di equilibrio in funzione dei parametri del sistema;
- 3) calcolare le reazioni vincolari in  $A$  all'equilibrio.

### DINAMICA.

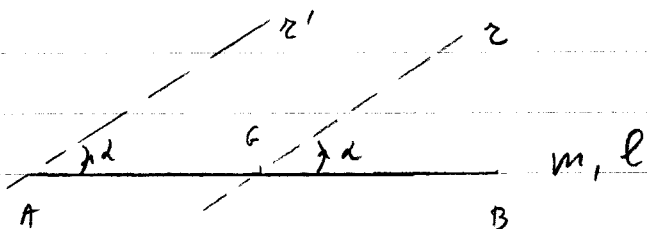
Inoltre si chiede di:

- 4) scrivere due equazioni differenziali pure di moto;
- 5) dire se l'energia meccanica è un integrale primo di moto e, in caso affermativo, determinarla;
- 6) calcolare le reazioni vincolari in  $A$  durante il moto in funzione delle coordinate libere e delle loro derivate rispetto al tempo.

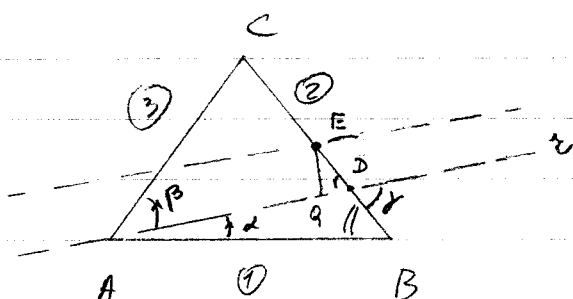
Tema del 21/07/2008

(1)

I metodi: utilizziamo le formule per il momento d'inerzia di un asta omogenea rispetto ad un asse che forma un angolo  $\alpha$  con l'asta e passante rispettivamente per il centro di massa e un estremo dell'asta.



$$(1.1) \quad I_{\alpha} = \frac{1}{3} ml^2 \sin^2 \alpha \quad I_r = \frac{1}{12} ml^2 \sin^2 \alpha$$



$$I_{\alpha} = I_{\alpha}^{(1)} + I_{\alpha}^{(2)} + I_{\alpha}^{(3)}$$

$$I_{\alpha}^{(1)} = \frac{1}{3} ml^2 \sin^2 \alpha$$

$$I_{\alpha}^{(2)} \stackrel{HS}{=} \frac{1}{12} ml^2 \sin^2 \gamma + m \overline{EQ}^2 = \frac{7}{48} ml^2 \sin^2 \gamma \quad \leftarrow \overline{EQ} = \overline{ED} \sin \gamma = \frac{l}{4} \sin \gamma$$

$$I_{\alpha}^{(3)} = \frac{1}{3} ml^2 \sin^2 \beta,$$

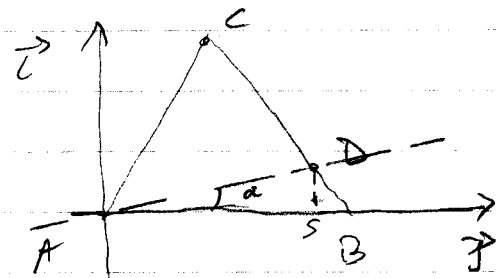
$$\text{dove } \gamma = \frac{\pi}{3} + \alpha, \quad \beta = \frac{\pi}{3} - \alpha$$

Perciò:

$$\sin \gamma = \sin \left( \frac{\pi}{3} + \alpha \right) = \sin \frac{\pi}{3} \cos \alpha + \cos \frac{\pi}{3} \sin \alpha = \frac{\sqrt{3}}{2} \cos \alpha + \frac{1}{2} \sin \alpha$$

$$\sin \beta = \sin \left( \frac{\pi}{3} - \alpha \right) = \sin \frac{\pi}{3} \cos \alpha - \cos \frac{\pi}{3} \sin \alpha = \frac{\sqrt{3}}{2} \cos \alpha - \frac{1}{2} \sin \alpha$$

Quello che ora ci interessa non è l'angolo  $\alpha$  ma  $\sin \alpha$  e  $\cos \alpha$ . Per calcolarli, basta osservare che



$$D-A = \frac{l}{8} (7\vec{i} + \sqrt{3}\vec{j})$$

$$\overline{AD} = |D-A| = \frac{\sqrt{52}}{8}$$

Quindi

$$\sin \alpha = \frac{\overline{DS}}{\overline{AD}} = \frac{l \sqrt{3} / 8}{8 \sqrt{52} / 8} = \sqrt{\frac{3}{52}} =$$

$$\cos \alpha = \frac{\overline{AS}}{\overline{AD}} = \frac{7l / 8}{8 \sqrt{52} / 8} = \frac{7}{\sqrt{52}}$$

$$\sin \gamma = \frac{\sqrt{3}}{2} \frac{7}{\sqrt{52}} + \frac{1}{2} \sqrt{\frac{3}{52}} = 4 \sqrt{\frac{3}{52}} =$$

$$\sin \beta = \frac{\sqrt{3}}{2} \frac{7}{\sqrt{52}} - \frac{1}{2} \sqrt{\frac{3}{52}} = 3 \sqrt{\frac{3}{52}}$$

Allora

$$I_2^{(1)} = \frac{1}{3} m l^2 \frac{7}{52} = \frac{1}{52} m l^2$$

$$I_2^{(2)} = \frac{7}{68} m l^2 \left( 16 \frac{3}{52} \right) = \frac{7}{52} m l^2$$

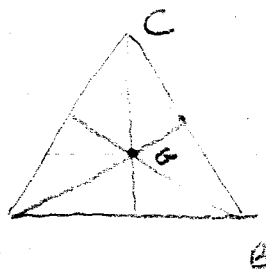
$$I_2^{(3)} = \frac{1}{3} m l^2 \left( 9 \frac{3}{52} \right) = \frac{9}{52} m l^2$$

Dunque,

$$I_2 = m l^2 \left( \frac{1}{52} + \frac{7}{52} + \frac{9}{52} \right) = \frac{17 m l^2}{52}$$

### Calcolo del centro di massa $\vec{x}_G$

Nelle pagine successive utilizzeremo più volte il vettore posizione del centro di massa  $\vec{x}_G$ . Per determinarlo, useremo le proprietà di simmetria materiale del telaio.



$$\vec{CG} = \frac{2}{3} h = \frac{2}{3} \left( \frac{\sqrt{3}}{2} l \right) = \frac{l}{\sqrt{3}}$$

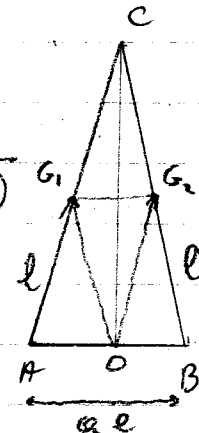
Infatti, poiché il telaio è un triangolo equilatero omogeneo, ammette le mediane come assi di simmetria materiale. Quindi,  $G$  appartiene all'incontro delle mediane, cioè coincide con il barycentro geometrico del triangolo.

N.B. Appena il telaio non è più equilatero,  $G$  NON coincide più con il barycentro geometrico. Per esempio, se il telaio è isoscele, dalla formula per il centro di massa e dalle proprietà distributive si ricava che

$$\begin{aligned} \vec{x}_G - \vec{x}_O &= \beta l (\vec{x}_{G_1} - \vec{x}_O) + \alpha l (\vec{x}_{G_2} - \vec{x}_O) = \frac{\vec{x}_{G_1} + \vec{x}_{G_2}}{2+\alpha} \\ &= \frac{\vec{x}_C}{2+\alpha} \end{aligned}$$

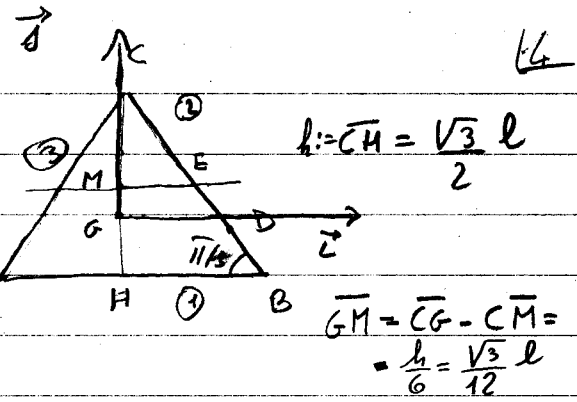
$$\beta = \frac{M}{l(2+\alpha)}$$

Allora,  $\vec{x}_G - \vec{x}_O = \frac{\vec{x}_C}{3}$  se e solo se  $\alpha = 1 \Leftrightarrow$  telaio equilatero.



II metodo: uniamo la matrice d'inerzia.

A tale scopo, determiniamo la matrice d'inerzia rispetto a una terna centrale nel centro di massa  $G$  e con assi paralleli all'elisse  $CH$  e al lato  $AB$ .



Essendo  $CH$  asse di simmetria materiale ortogonale per il telolo, l'asse  $\vec{j}$  è asse principale d'inerzia per  $G$  e quindi la terna  $(G, \vec{i}, \vec{j}, \vec{k})$  è una terna principale d'inerzia. Dunque, la matrice d'inerzia  $I_G$  è diagonale.

$$I_G = \begin{bmatrix} \bar{J}_x & 0 & 0 \\ 0 & \bar{J}_y & 0 \\ 0 & 0 & \bar{J}_x + \bar{J}_y \end{bmatrix}.$$

Calcolo di  $\bar{J}_x$   $\bar{J}_x = \bar{J}_x^{(1)} + \bar{J}_x^{(2)} + \bar{J}_x^{(3)}$

$$\bar{J}_x^{(1)HS} = I_{nC}^{(1)} + m \overline{GH}^2 = m \left(\frac{h}{3}\right)^2 = m \left(\frac{l}{2\sqrt{3}}\right)^2 = \frac{1}{12} ml^2$$

$$\begin{aligned} \bar{J}_x^{(2)HS} &= I_{nE}^{(2)} + m \overline{GM}^2 \stackrel{(1)}{=} \frac{1}{12} ml^2 \sin^2\left(\frac{\pi}{3}\right) + m \left(\frac{\sqrt{3}l}{12}\right)^2 = \frac{1}{12} ml^2 \frac{3}{4} + \frac{3}{16} ml^2 \\ &= \frac{1}{12} ml^2 \end{aligned}$$

$$\bar{J}_x^{(3)} = \bar{J}_x^{(2)}$$

Quindi

$$\bar{J}_x = \frac{3}{12} ml^2 = \frac{1}{4} ml^2$$

N.B. La notazione HS indica le formule di trasporto di Huygens-Steiner.

$$\underline{\text{Calcolo di } J_y:} \quad J_y = \bar{J}_y^{(1)} + \bar{J}_y^{(2)} + \bar{J}_y^{(3)}$$

(5)

$$\bar{J}_y^{(1)} = \frac{1}{12} m l^2$$

$$\bar{J}_y^{(2)} = \frac{1}{3} m l^2 \sin^2 \frac{\pi}{6} = \frac{1}{3} m l^2 \frac{1}{4} = \frac{1}{12} m l^2$$

$$\bar{J}_y^{(3)} = \bar{J}_y^{(2)}$$

Dunque

$$J_y = \frac{3}{12} m l^2 = \frac{1}{4} m l^2$$

N.B Il fatto che  $J_x = J_y$  equivale al fatto che l'antagonio corrispondente all'autovettore  $J_x$  della matrice d'inerzia  $I_G$ , ha dimensione 2. Quindi tutte le coppie di assi ortogonali entrate in  $G$ , insieme con l'asse  $\vec{k}$ , sono TPI( $G$ ). In altri termini, l'ellisse centrale d'inerzia è una circonferenza.

Allora, la matrice d'inerzia  $I_C$  è data da

$$(5.1) \quad I_G = m l^2 \begin{bmatrix} \frac{1}{4} & 0 & 0 \\ 0 & \frac{1}{4} & 0 \\ 0 & 0 & \frac{1}{2} \end{bmatrix}$$

Ora basta "trasportare" la matrice  $I_G$  in un qualunque punto delle rette per A e D, per rispondere alla domanda 1). Per motivi che vedremo in dinamica, conviene scegliere il punto A e utilizzare le formule MS (OI21.1) degli Appunti multimediali della matrice centrale d'inerzia.

Nel nostro caso, la formula moltiplicata si scrive:

$$I_A = I_G + 3m \begin{bmatrix} y_A'^2 & -x_A' y_A' & 0 \\ -x_A' y_A' & x_A'^2 & 0 \\ 0 & 0 & x_A'^2 + y_A'^2 \end{bmatrix} \quad \begin{aligned} x_A' &= -\frac{l}{2} \\ y_A' &= -\frac{l}{3} = -\frac{1}{2}\sqrt{3}l \end{aligned}$$

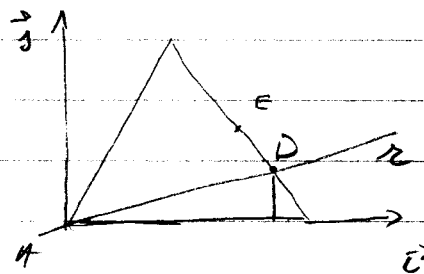
dove  $x_A'$  e  $y_A'$  sono le coordinate del punto A ris. alle teme  $(\sigma, \vec{i}, \vec{j}, \vec{k})$ .

Quindi

$$I_A = m l^2 \begin{bmatrix} \frac{1}{4} & 0 & 0 \\ 0 & \frac{1}{4} & 0 \\ 0 & 0 & \frac{1}{2} \end{bmatrix} + 3ml^2 \begin{bmatrix} \frac{1}{12} & -\frac{1}{4\sqrt{3}} & 0 \\ -\frac{1}{4\sqrt{3}} & \frac{1}{4} & 0 \\ 0 & 0 & \frac{1}{3} \end{bmatrix}$$

$$(3.1) = m l^2 \begin{bmatrix} \frac{1}{2} & -\frac{\sqrt{3}}{4} & 0 \\ -\frac{\sqrt{3}}{4} & 1 & 0 \\ 0 & 0 & \frac{3}{2} \end{bmatrix}$$

Indicando con  $r$  la retta passante per i punti A e D, vale



$$I_r = \text{ver}(D-A) \cdot I_A (\text{ver}(D-A))$$

$$D-A = l \left( \frac{7\vec{i}}{8} + \frac{\sqrt{3}}{8}\vec{j} \right)$$

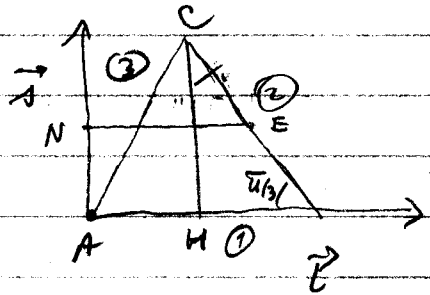
$$\text{ver}(D-A) = \frac{1}{\sqrt{52}} \left( 7\vec{i} + \sqrt{3}\vec{j} \right)$$

$$= \frac{1}{\sqrt{52}} [7, \sqrt{3}] ml^2 \begin{bmatrix} \frac{1}{2} & -\frac{\sqrt{3}}{4} \\ -\frac{\sqrt{3}}{4} & 1 \end{bmatrix} \begin{bmatrix} 7 \\ \frac{1}{\sqrt{52}} \sqrt{3} \end{bmatrix} =$$

$$= \frac{ml^2}{52} [7, \sqrt{3}] \begin{bmatrix} \frac{7}{2} - \frac{3}{4} \\ -\frac{7\sqrt{3}}{4} + \sqrt{3} \end{bmatrix} = \frac{ml^2}{52} [7, \sqrt{3}] \begin{bmatrix} \frac{11}{4} \\ -\frac{3\sqrt{3}}{4} \end{bmatrix} = \frac{ml^2}{52} \left( \frac{77}{4} - \frac{9}{4} \right) = \frac{ml^2}{52} \frac{17}{4}$$

III metodo: determiniamo direttamente la matrice  $I_A$

$$I_A = \begin{bmatrix} I_x & I_{xy} & 0 \\ I_{xy} & I_y & 0 \\ 0 & 0 & I_x + I_y \end{bmatrix}$$



$$I_A = I_A^{(1)} + I_A^{(2)} + I_A^{(3)}$$

$$I_A^{(2)HS} = I_{NE}^{(2)} + m \overline{MH}^2 = \frac{1}{12} ml^2 \sin^2 \frac{\pi}{3} + m \left(\frac{l}{2}\right)^2 = \frac{1}{16} ml^2 + m \frac{3}{16} l^2 = \frac{1}{4} ml^2$$

$$I_A^{(3)} = I_{NE}^{(2)}$$

Quindi  $I_A = \left( \frac{1}{2} ml^2 \right)$

$$I_y = I_y^{(1)} + I_y^{(2)} + I_y^{(3)}$$

$$I_y^{(1)} = \frac{1}{3} ml^2$$

$$I_y^{(2)HS} = \frac{1}{12} ml^2 \sin^2 \frac{\pi}{6} + m \overline{EN}^2 = \frac{1}{48} ml^2 + m \left(\frac{3l}{4}\right)^2 = \frac{7}{12} ml^2$$

$$I_y^{(3)} = \frac{1}{3} ml^2 \sin^2 \frac{\pi}{6} = \frac{1}{12} ml^2$$

Dunque

$$I_y = \frac{1}{3} ml^2 + \frac{7}{12} ml^2 + \frac{1}{12} ml^2 = \left( ml^2 \right)$$

## Calcolo di $I_{xy}$

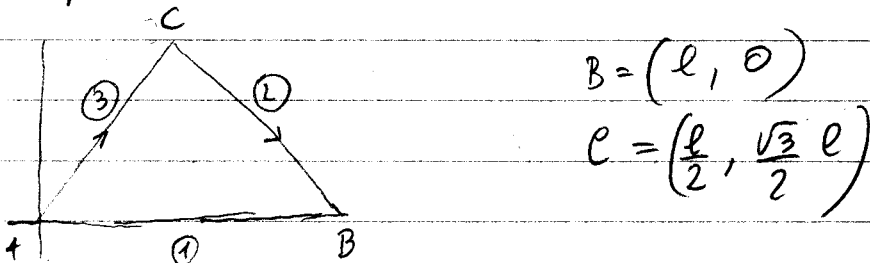
18

$$I_{xy} = - \int_{P \in P_2} f(p) x(p) y(p) dz \quad f(p) = \frac{m}{l}$$

Poiché il rigido è 1-dimensionale, l'integrale precedente è un integrale di linea su un cammino (regolare e tratto).

$$I_{xy} = - \frac{m}{l} \int_0^l x(s) y(s) ds - \frac{m}{l} \int_0^l x(c) y(c) dc - \frac{m}{l} \int_0^l x(P) y(P) d\gamma$$

Per calcolare gli integrali ② e ③, bisogna parametrizzare i due cammini, per esempio, mediante l'ascissa curvilinea.



③ L'equazione parametrica del segmento AC è:

$$P(s) = s \operatorname{vers}(\vec{x}_C) = s \left( \frac{1}{2} \vec{i} + \frac{\sqrt{3}}{2} \vec{j} \right) \quad s \in [0, l]$$

② L'equazione parametrica del segmento BC è:

$$P(s) = \vec{x}_C + s \operatorname{vers}(\vec{x}_B - \vec{x}_C) = l \left( \frac{1}{2} \vec{i} + \frac{\sqrt{3}}{2} \vec{j} \right) + s \left( \frac{1}{2} \vec{i} - \frac{\sqrt{3}}{2} \vec{j} \right)$$

$$s \in [0, l]$$

(9)

Allora

$$\textcircled{3} \quad \int_{0}^l x(P(s)) y(P(s)) ds = \int_{0}^l \frac{1}{2} \frac{\sqrt{3}}{2} s ds = \frac{\sqrt{3}}{4} \frac{l^3}{3} = \frac{l^3}{4\sqrt{3}}$$

$$\textcircled{2} \quad \int_{0}^l x(P(s)) y(P(s)) ds = \int_{0}^l \left( \frac{l+s}{2} \right) + \left( \frac{l\sqrt{3}}{2} - \frac{l\sqrt{3}s}{2} \right) ds$$

$$= \int_{0}^l \frac{1}{2} (l+s) - \frac{\sqrt{3}}{2} (l-s) ds = \frac{\sqrt{3}}{4} \int_{0}^l (l-s^2) ds =$$

$$= \frac{\sqrt{3}}{4} \left[ l^2 s - \frac{s^3}{3} \right]_0^l = \frac{\sqrt{3}}{4} \left[ l^3 - \frac{l^3}{3} \right] =$$

$$= \frac{\sqrt{3}}{4} \frac{2}{3} l^3 = \frac{1}{2\sqrt{3}} l^3$$

Quindi

$$T_{xy} = -\frac{m}{l} \left( \frac{l^3}{2\sqrt{3}} + \frac{l^3}{4\sqrt{3}} \right) = -\frac{3}{4\sqrt{3}} ml^2 = -\frac{\sqrt{3}}{4} ml^2$$

Allora, la matrice  $\mathbf{T}$  coincide con la (3.1) e  $\mathbf{I}_2$  si calcola come a pag. 3.

## Statice

Analisi cinematica: il sistema è un rigido soggetto a un vincolo semplice (cerchiere scorrevole). Quindi

$$l = f - v = 3 - 1 = 2,$$

cioè il sistema ha 2 g.l. Come coordinate libere sceglieremo l'ascina del punto A,  $x$ , e l'angolo  $\varphi$  di figura. Quindi, le configurazioni del sistema sono individuate da

$$\vec{q} = (x, \varphi)$$

2) Equilibri: utilizziamo il PLV per i rigidi piani.

$$LV = \vec{R}^{\text{att}} \cdot \delta \vec{x}_A + \vec{M}_A^{\text{att}} \cdot \delta \varphi \vec{e}_3$$

$$\vec{x}_A = x \vec{e}_2 \quad \delta \vec{x}_A = \delta x \vec{e}_2$$

$$\vec{F}_A = -c x \vec{e}_2$$

$$\vec{R}^{\text{att}} = \vec{F}_A + 3m\vec{g} + \vec{F}_C$$

$$\vec{F}_C = F \vec{e}_3 \times \text{vers}(\vec{x}_H - \vec{x}_A)$$

$$= F (-\sin \varphi \vec{e}_1 + \cos \varphi \vec{e}_2)$$

$$(0.1) \quad \vec{M}_A^{\text{att}} = (\vec{x}_C - \vec{x}_A) \times 3m\vec{g} + (\vec{x}_C - \vec{x}_A) \times \vec{F}_C$$

$$= \frac{l}{\sqrt{3}} (\cos \varphi \vec{e}_1 + \sin \varphi \vec{e}_2) \times 3m\vec{g} + [(\vec{x}_C - \vec{x}_H) + (\vec{x}_H - \vec{x}_A)] \times (F \vec{e}_3 \times \text{vers}(\vec{x}_H - \vec{x}_A))$$

$$= \frac{3mgl}{\sqrt{3}} \sin \varphi (-\vec{e}_3) + F [(\vec{x}_C - \vec{x}_H) \times (\vec{e}_3 \times \text{vers}(\vec{x}_H - \vec{x}_A)) + (\vec{x}_H - \vec{x}_A) \times (\vec{e}_3 \times \text{vers}(\vec{x}_H - \vec{x}_A))]$$

$$= -\frac{3mgl}{\sqrt{3}} \sin \varphi \vec{e}_3 + F \overline{AH} \vec{e}_3 = \left( F \frac{\sqrt{3}}{2} l - \sqrt{3} mgl \sin \varphi \right) \vec{e}_3$$

Quindi

$$\begin{aligned} \Delta V^{\text{eff}} &= \left[ -cx \vec{e}_2 + 3mg \vec{e}_1 + F(-\sin\varphi \vec{e}_1 + \cos\varphi \vec{e}_2) \right] \cdot \delta x \vec{e}_2 + \\ &+ l\sqrt{3} \left( \frac{F}{2} - mg \sin\varphi \right) \vec{e}_3 \cdot \delta\varphi \vec{e}_3 = \\ &= (F \cos\varphi - cx) \delta x + \sqrt{3}l \left( \frac{F}{2} - mg \sin\varphi \right) \delta\varphi \end{aligned}$$

Allora le forze generali viste sono:

$$(11.1) \quad Q_x = F \cos\varphi - cx = \vec{R} \cdot \vec{e}_2$$

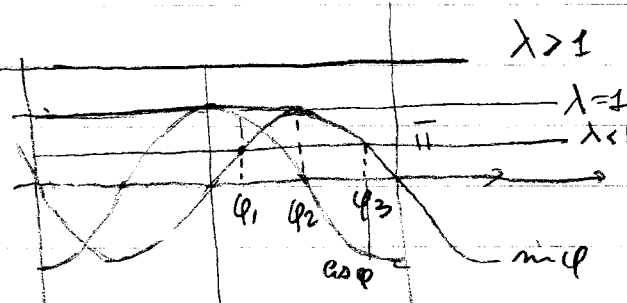
$$Q_\varphi = l\sqrt{3} \left( \frac{F}{2} - mg \sin\varphi \right) = \vec{M}_x \cdot \vec{e}_3$$

e le equazioni pure di equilibrio

$$(11.2) \quad \begin{cases} F \cos\varphi - cx = 0 \\ \frac{F}{2} - mg \sin\varphi = 0 \end{cases}$$

Risolviamo prima la seconda:

$$\sin\varphi = \frac{F}{2mg} = \lambda > 0$$



se  $\lambda > 1$  Nessuna soluzione

$$\text{se } \lambda = 1 \quad \varphi_2 = \frac{\pi}{2}$$

$$\text{se } \lambda < 1 \quad \varphi_1 = \arcsin \lambda < \frac{\pi}{2}, \quad \varphi_3 = \pi - \varphi_1$$

$$\cos\varphi_1 = \sqrt{1-\lambda^2} \quad , \quad \cos\varphi_3 = -\sqrt{1-\lambda^2}$$

Dalle prime due equazioni delle (112) si ricava  $x_E$ :

$$x_E = \frac{E}{C} \cos \varphi_E = \begin{cases} \frac{\lambda^{-1}}{\lambda+1} \theta & \leftarrow \varphi_E = \varphi_2 = \frac{\pi}{2} \\ \frac{E}{C} \sqrt{1-\lambda^2} & \leftarrow \varphi_E = \varphi_1 \\ -\frac{E}{C} \sqrt{1-\lambda^2} & \leftarrow \varphi_E = \varphi_2 \end{cases}$$

Quindi, le configurazioni di equilibrio sono:

$$\vec{q}_E^{(2)} = \left( \frac{\pi}{2}, 0 \right) \quad \text{se } \lambda = 1$$

$$\vec{q}_E^{(1)} = \left( \varphi_1, \frac{E}{C} \sqrt{1-\lambda^2} \right) \quad \left\{ \begin{array}{l} \text{se } \lambda < 1 \\ \text{se } \lambda > 1 \end{array} \right.$$

$$\vec{q}_E^{(3)} = \left( \varphi_3, -\frac{E}{C} \sqrt{1-\lambda^2} \right)$$

### 3) Reazioni vincolari in A

Le reazioni vincolari hanno la direzione degli spostamenti impediti. La cerniere scorrevole in A impedisce lo spostamento ortogonale all'asse  $\vec{e}_1$ . Quindi

$$\vec{\phi}_A = V_A \vec{e}_1$$

Per calcolare  $V_A$ , scrivo la I ECS proiettata lungo  $\vec{e}_1$

$$\vec{R}^{\text{ext}} \cdot \vec{e}_1 = 0 \quad 3mg + V_A + \vec{F}_c \cdot \vec{e}_1 = 0$$

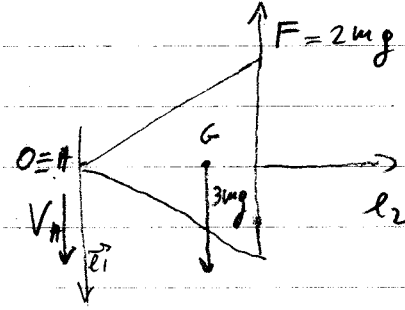
$$3mg + V_A - F_{\text{frin}} \varphi_E = 0$$

Quindi

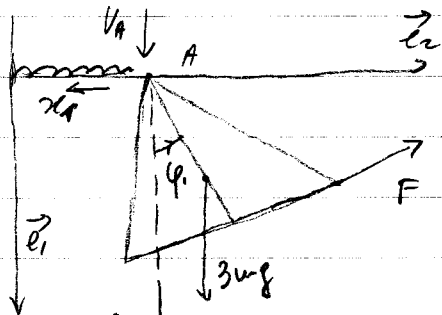
$$V_A = F_{\text{frin}} \varphi_E - 3mg = F\lambda - 3mg = F\left(\lambda - \frac{3}{2\lambda}\right) < 0 \quad \text{poiché } \lambda < 1 < \sqrt{\frac{3}{2}}$$

Ricapito Lamolo:

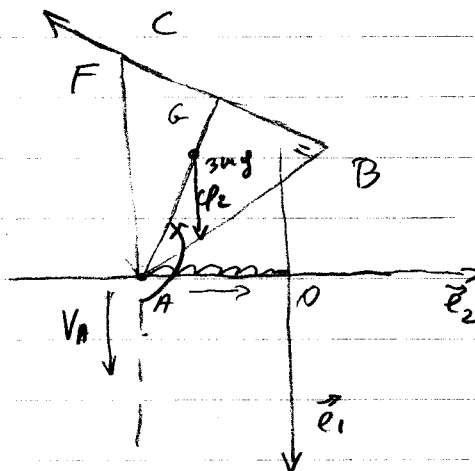
$$\text{se } \lambda = 1 \quad \vec{q}_E^{(1)} = \left( \frac{\pi}{2}, 0 \right), \quad V_A = -\frac{F}{2} = -mg$$



$$\text{se } \lambda < 1 \quad \vec{q}_E^{(1)} = \left( \varphi_1, \frac{E\sqrt{1-\lambda^2}}{c} \right), \quad V_A = F\lambda - 3mg < 0$$



$$\vec{q}_E^{(2)} = \left( \varphi_2, -\frac{E\sqrt{1-\lambda^2}}{c} \right), \quad V_A = F\lambda - 3mg < 0$$



Visto che abbiamo già ricevuto le forze generalizzate (11.1) conviene scrivere le equazioni di Lagrange. A tale scopo, calcoliamo l'energia cinetica del sistema. Poiché il rigido non ha punti fissi, conviene usare

$$K = \frac{1}{2} 3m \vec{v}_G^2 + \frac{1}{2} J_{Gz} \dot{\varphi}^2$$

$$(11.1) \quad \vec{v}_G = \vec{v}_A + \vec{\omega} \times (\vec{x}_G - \vec{x}_A) = \dot{x} \vec{e}_2 + \dot{\varphi} \vec{e}_3 \times \frac{l}{\sqrt{3}} (\cos \varphi \vec{e}_1 + \sin \varphi \vec{e}_2)$$

$$= \dot{x} \vec{e}_2 + \frac{l}{\sqrt{3}} \dot{\varphi} (\cos \varphi \vec{e}_2 - \sin \varphi) \vec{e}_1 =$$

$$= -\frac{l}{\sqrt{3}} \dot{\varphi} \sin \varphi \vec{e}_1 + \left( \dot{x} + \frac{l}{\sqrt{3}} \dot{\varphi} \cos \varphi \right) \vec{e}_2$$

$$\vec{v}_G^2 = \left( \frac{l}{\sqrt{3}} \dot{\varphi} \sin \varphi \right)^2 + \left( \dot{x} + \frac{l}{\sqrt{3}} \dot{\varphi} \cos \varphi \right)^2 =$$

$$= \frac{l^2}{3} \dot{\varphi}^2 \sin^2 \varphi + \dot{x}^2 + \frac{l^2}{3} \dot{\varphi}^2 \cos^2 \varphi + \frac{2}{\sqrt{3}} \cdot l \dot{x} \dot{\varphi} \cos \varphi$$

$$= \dot{x}^2 + \frac{l^2}{3} \dot{\varphi}^2 + \frac{2}{\sqrt{3}} l \dot{x} \dot{\varphi} \cos \varphi$$

Ricordando che  $J_{Gz} = \frac{1}{2} m l^2$  per le (5.1), si ha

$$(11.2) \quad K = \frac{3}{2} m \dot{x}^2 + \frac{3}{2} m \left( \frac{l^2}{3} \dot{\varphi}^2 + \frac{2}{\sqrt{3}} l \dot{x} \dot{\varphi} \cos \varphi \right) + \frac{1}{6} m l^2 \dot{\varphi}^2$$

$$= \frac{3}{2} m \dot{x}^2 + \frac{3}{4} m l^2 \dot{\varphi}^2 + \sqrt{3} m l \dot{x} \dot{\varphi} \cos \varphi$$

N.B. Se non si è calcolato prima  $J_{xz}$  ma solo  $I_{xz}$  (3.1) conviene usare le rappresentazioni dell'energia cinetica con polo in A. (vedi pag. degli Appunti.)

$$\begin{aligned}
 K &= \frac{1}{2} 3m \vec{v}_A^2 + \frac{1}{2} I_{xz} \dot{\varphi}^2 + 3m \vec{v}_A \cdot \vec{\omega} \times (\vec{x}_c - \vec{x}_A) \\
 &= \frac{3}{2} m \dot{x}^2 + \frac{1}{2} \left( \frac{3}{2} ml^2 \right) \dot{\varphi}^2 + 3m \dot{x} \vec{e}_2 \cdot \dot{\varphi} \vec{e}_3 \times l \frac{(\cos \varphi \vec{e}_1 + \sin \varphi \vec{e}_2)}{\sqrt{3}} \\
 &= \frac{3}{2} m \dot{x}^2 + \frac{1}{4} ml^2 \dot{\varphi}^2 + 3m \dot{x} \dot{\varphi} l \frac{1}{\sqrt{3}} \begin{vmatrix} 0 & 1 & 0 \\ 0 & 0 & 1 \\ \cos \varphi & \sin \varphi & 0 \end{vmatrix} = \\
 &= \frac{3}{2} m \dot{x}^2 + \frac{3}{4} ml^2 \dot{\varphi}^2 + \sqrt{3} ml \dot{x} \dot{\varphi} (-(-\cos \varphi)) \\
 &= \frac{3}{2} m \ddot{x}^2 + \frac{3}{4} ml^2 \ddot{\varphi}^2 + \sqrt{3} ml \dot{x} \dot{\varphi} \cos \varphi,
 \end{aligned}$$

che coincide con le (14.2).

Scriviamo le equazioni di Lagrange

$$\begin{aligned}
 \frac{\partial K}{\partial \dot{x}} &= 3m \ddot{x} + \sqrt{3} ml \dot{\varphi} \cos \varphi & \frac{\partial K}{\partial x} &= 0 \\
 \frac{d}{dt} \left( \frac{\partial K}{\partial \dot{x}} \right) &= 3m \ddot{x} + \sqrt{3} ml \left( \ddot{\varphi} \cos \varphi - \dot{\varphi}^2 \sin \varphi \right),
 \end{aligned}$$

$$(15.1) \quad 3m \ddot{x} + \sqrt{3} ml \left( \ddot{\varphi} \cos \varphi - \dot{\varphi}^2 \sin \varphi \right) = F \cos \varphi - c x$$

$$\frac{\partial K}{\partial \dot{\varphi}} = \frac{3}{2} ml^2 \ddot{\varphi} + \sqrt{3} ml \dot{x} \cos \varphi ; \quad \frac{\partial K}{\partial \varphi} = -\sqrt{3} ml \dot{x} \dot{\varphi} \sin \varphi$$

$$\frac{d}{dt} \left( \frac{\partial K}{\partial \dot{\varphi}} \right) = \frac{3}{2} ml^2 \ddot{\varphi} + \sqrt{3} ml \left( \ddot{x} \cos \varphi - \dot{x} \dot{\varphi} \sin \varphi \right)$$

$$(15.2) \quad \frac{3}{2} ml^2 \ddot{\varphi} + \sqrt{3} ml \left( \ddot{x} \cos \varphi - \dot{x} \dot{\varphi} \sin \varphi \right) + \sqrt{3} ml \dot{x} \dot{\varphi} \sin \varphi = \frac{1}{2} E - mgx$$

N.B. In alternativa alle equazioni di La Grange, in questo caso possiamo utilizzare le ECD, proiettando la I lungo  $\vec{e}_2$  e scegliendo nella II il polo A. In tal modo troviamo 2 equazioni forze di moto.

$$(16.1) \begin{cases} \vec{R} \cdot \vec{e}_2 = 3m \dot{\vec{x}}_C \cdot \vec{e}_2 \\ \vec{M}_A \cdot \vec{e}_3 = \frac{d\vec{l}_A}{dt} \cdot \vec{e}_3 + (\vec{V}_A \times 3m \vec{V}_G) \cdot \vec{e}_3 \end{cases}$$

Per calcolare  $\vec{l}_A$ , dato che A non è fino ma appartiene a R, possiamo usare la rappresentazione (OI 2.1) degli Appunti

$$\begin{aligned} (16.2) \quad \vec{l}_A &= (\vec{x}_G - \vec{x}_A) \times 3m \vec{v}_A + \vec{I}_A(\vec{\omega}) \\ &= \frac{l}{\sqrt{3}} (\cos \varphi \vec{e}_1 + \sin \varphi \vec{e}_2) \times 3m \dot{\vec{x}} \vec{e}_2 + I_{Az} \dot{\varphi} \vec{e}_3 \\ &= \left( m \sqrt{3} \dot{x} \cos \varphi + \frac{3}{2} m l^2 \dot{\varphi} \right) \vec{e}_3 \end{aligned}$$

$$(16.3) \quad \vec{v}_A \times 3m \vec{v}_G \stackrel{(14.1)}{=} \dot{\vec{x}} \vec{e}_2 \times 3m \left[ -\frac{l}{\sqrt{3}} \dot{\varphi} \sin \varphi \vec{e}_1 + \left( \ddot{x} + \frac{l}{\sqrt{3}} \dot{\varphi} \cos \varphi \right) \vec{e}_2 \right]$$

$$(16.4) \quad \ddot{\vec{x}}_G = \frac{d(\vec{x}_G)}{dt} \stackrel{(16.1)}{=} -\frac{l}{\sqrt{3}} (\ddot{\varphi} \sin \varphi + \dot{\varphi}^2 \cos \varphi) \vec{e}_1 + \left( \ddot{x} + \frac{l}{\sqrt{3}} (\dot{\varphi} \cos \varphi - \dot{\varphi}^2 \sin \varphi) \right) \vec{e}_2$$

Allora, la I delle (16.1) scrive

$$(16.5) \quad -cx + F \cos \varphi = 3m \left( \ddot{x} + \frac{l}{\sqrt{3}} (\dot{\varphi} \cos \varphi - \dot{\varphi}^2 \sin \varphi) \right)$$

che coincide con la (15.1).

La II delle (16.1) mi scrive, tenendo conto delle (16.1), (16.2) e (16.3)

$$\left( F \frac{\sqrt{3}}{2} l - \sqrt{3} mg \sin \varphi \right) = \frac{d}{dt} \left( m \sqrt{3} \ddot{x} \cos \varphi + \frac{3}{2} m l^2 \ddot{\varphi} \right) + \sqrt{3} m l \ddot{x} \dot{\varphi} \sin \varphi$$

cioè

$$\sqrt{3} l \left( \frac{F}{2} - mg \sin \varphi \right) = m \sqrt{3} \ddot{x} \cos \varphi - m \sqrt{3} \ddot{x} \dot{\varphi} \sin \varphi + \frac{3}{2} m l^2 \ddot{\varphi} + \cancel{\sqrt{3} m l \ddot{x} \dot{\varphi} \sin \varphi}$$

che coincide con la (15.2).

### 6) Reazioni vincolari in A

Uniamo le I ECS proiettate lungo l'asse  $\vec{e}_1$

$$\stackrel{\rightarrow \text{est}}{R} \cdot \vec{e}_1 \quad V'_A + 3mg - F_{\text{rim}\varphi} = 3m \stackrel{\rightarrow}{\ddot{x}}_G \cdot \vec{e}_1$$

da cui, tenuto conto della (16.4)

$$V'_A = F_{\text{rim}\varphi} - 3mg - \frac{3}{\sqrt{3}} m l \left( \ddot{x} \sin \varphi + \dot{\varphi}^2 \cos \varphi \right)$$

5) Il sistema non è conservativo, poiché dalle (11.1) segue che

$$\frac{\partial Q_x}{\partial \varphi} = -F_{\text{rim}\varphi}, \quad \frac{\partial Q_x}{\partial x} = 0 \Rightarrow \frac{\partial Q_x}{\partial \varphi} \neq \frac{\partial Q_x}{\partial x}$$

Quindi, la sollecitazione attiva non ammette energia potenziale.